

УДК 669.01

Труды XII Российской конференции «Строение и свойства металлических и шлаковых расплавов». Т. 2. Экспериментальное изучение жидких и аморфных металлических систем и их взаимосвязь с кристаллическим состоянием. Екатеринбург: УрО РАН, 2008. – 310 с.  
ISBN 5-7691-1988-8

Труды XII Российской конференции дают представление о работах в области физикохимии металлических, полупроводниковых и шлаковых расплавов, металлических систем, квазикристаллов, а также о новых способах обработки расплавов и материалов, выполненных в России и странах СНГ со времени последней Российской конференции по данной тематике (2004 г.).

Доклады сборника печатаются в соответствии с авторскими оригиналами.

*Конференция проводится при финансовой поддержке Российского фонда фундаментальных исследований, проект № 08-03-06065.*

ISBN 5-7691-1988-8

©ИМЕТ УрО РАН, 2008.

# ОБ ОСОБЕННОСТЯХ ВЯЗКОСТИ РАСПЛАВОВ AI-Ni-Y

**С.Г. Меньшикова\*, А.Л. Бельтиков\*\*, В.И. Ладьянов\*\*, В.В. Маслов\*\*\***

\*УдГУ, НИИ Термофизики новых материалов, г. Ижевск, E-mail: svetlmensh@mail.ru

\*\*Физико-Технический Институт УрО РАН, г. Ижевск, E-mail: las@pti.udm.ru

\*\*\*Институт металлофизики им. Г.В.Курдюмова НАН Украины,  
г. Киев, E-mail: maslov@imp.kiev.ua

Алюминий образует устойчивые интерметаллические соединения с переходными (ПМ) и редкоземельными металлами (РЗМ), которые в ряде случаев используются в качестве упрочняющих фаз в металлических сплавах, находящихся в кристаллическом состоянии. Большой интерес в последние годы привлекают сплавы на основе алюминия (80-90 ат.% Al) с ПМ и РЗМ металлами в аморфном или аморфно-кристаллическом состояниях, эксплуатационные свойства (прочность, пластичность, сопротивление коррозии) которых выше свойств их кристаллических аналогов [1]. Одним из основных методов получения аморфных сплавов является сверхбыстрая закалка расплава, температурно-временная обработка (ТВО) которого позволяет дополнительно улучшать служебные свойства. При выборе оптимальных условий ТВО расплава часто используются данные о температурных и временных зависимостях их структурно-чувствительных свойств, в частности, вязкости. В работах [2,3] нами была изучена вязкость ряда жидкых сплавов системы Al-ПМ-РЗМ, в частности,  $Al_{86}Ni_8(La/Ce)_6$ ,  $Al_{86}Ni_6Co_2Gd_4(Tb/Y)_2$  и обнаружены ее необратимые немонотонные изменения, обусловленные распадом неравновесного микронеоднородного состояния расплавов, унаследованного от многофазного твердого образца.

В настоящей работе методом затухающих крутильных колебаний исследованы температурные, временные и концентрационные зависимости кинематической вязкости ( $\nu$ ) расплавов бинарных систем Al-Ni и Al-Y с содержанием второго элемента до 10 ат.%, а также модельного стеклообразующего сплава  $Al_{87}Ni_8Y_5$ . Бинарные системы Al-Ni и Al-Y в области богатой алюминием имеют эвтектическую диаграмму фазовых равновесий (эвтектический состав 2,7 и 3,0 ат.% Ni и Y соответственно), что может приводить к появлению особенностей на изотермах их структурно-чувствительных свойств.

Измерения вязкости проводили на автоматизированной установке [4] методом затухающих крутильных колебаний. Общая среднеквадратичная ошибка измерения  $\nu$  не превышает 4% при ошибке единичного измерения не более 2,5 %. Перед проведением измерений сплавы переплавляли непосредственно в вискозиметре в течение 1 часа при температуре на 300-400°C превышающей их температуры плавления. Все измерения проводили в атмосфере высокочистого гелия в цилиндрических тиглях из  $Al_2O_3$  внутренним диаметром 16 мм и высотой 40 мм. С целью исключения неконтролируемого влияния образующейся на поверхности сплава оксидной пленки в тигель поверх образца помещали крышку из  $Al_2O_3$ , выполняющую роль второй торцевой поверхности. Конструкция крышки позволяла ей свободно двигаться вдоль вертикальной оси тигля и при совершении крутильных колебаний вращаться вместе с ним.

На рис.1. приведена температурная зависимость вязкости расплава  $Al_{87}Ni_8Y_5$ , полученная в режимах нагрева и последующего охлаждения после изотермических выдержек на каждой температуре в течение 20 мин. На политерме вязкости, полученной в режиме нагрева, на фоне относительно резкого снижения значений  $\nu$  в интервале от  $t_L$  до 1000°C наблюдается максимум вблизи 950°C. При охлаждении расплава наблюдается гистерезис вязкости ниже 1050°C, который сохраняется вплоть до его кристаллизации. На политерме в режиме охлаждения особенностей не обнаружено и вязкость изменяется экспоненциально.

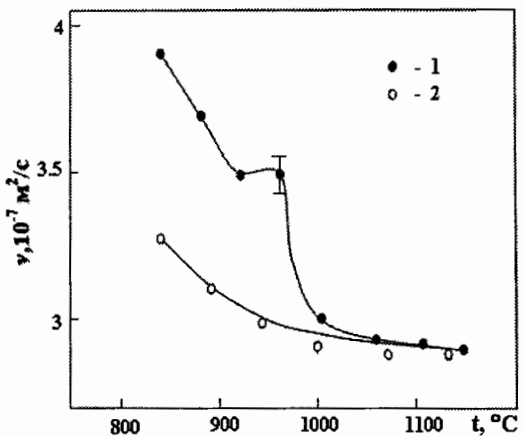


Рис.1. Температурные зависимости вязкости расплава  $\text{Al}_{87}\text{Ni}_8\text{Y}_5$ : 1 – нагрев; 2 – охлаждение

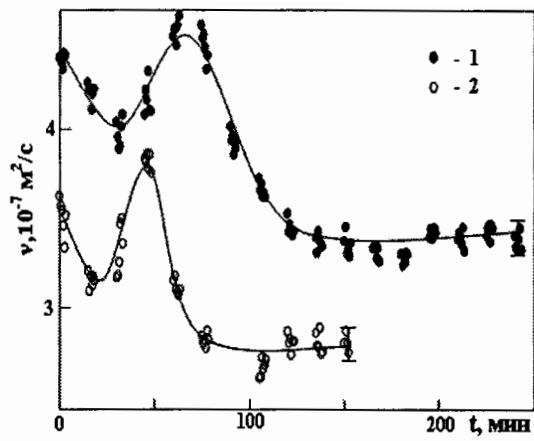


Рис.2. Временные зависимости вязкости расплава  $\text{Al}_{87}\text{Ni}_8\text{Y}_5$  при температурах  $1050^\circ\text{C}$  (1) и  $1200^\circ\text{C}$  (2)

Для выяснения причин гистерезиса вязкости были проведены исследования временных зависимостей  $\nu$  в расплавах при различных перегревах над температурой ликвидуса в течение длительных изотермических выдержек после нагрева от комнатной температуры со скоростью 30-40 град/мин. Типичные временные зависимости вязкости расплава  $\text{Al}_{87}\text{Ni}_8\text{Y}_5$  представлены на рис.2. Из рис.2 видно, что временные зависимости вязкости расплава имеют немонотонный характер и время установления стабильных значений вязкости составляет  $\sim 120$  минут при  $1050^\circ\text{C}$  и  $\sim 70$  минут при  $1200^\circ\text{C}$ . Аналогичный характер имеют температурные и временные зависимости вязкости расплавов систем  $\text{Al-ПМ-РЗМ}$ , исследованных нами ранее [2,3].

Типичные политермы вязкости расплавов бинарных систем  $\text{Al-Ni}$  и  $\text{Al-Y}$  приведены на рис.3 и рис.4.

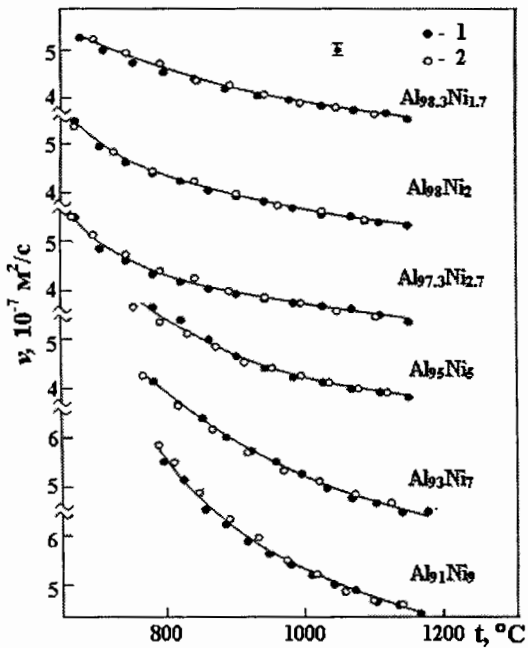


Рис.3. Типичные политермы вязкости расплавов  $\text{Al-Ni}$ : 1-нагрев, 2-охлаждение

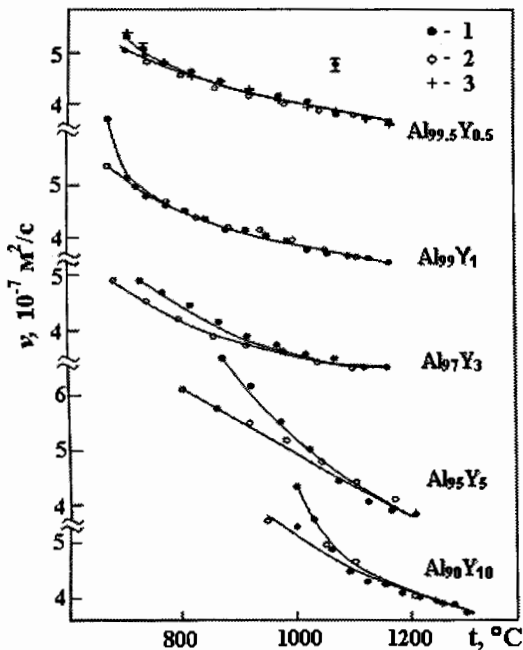


Рис.4. Типичные политермы вязкости расплавов  $\text{Al-Y}$ : 1-нагрев, 2-охлаждение, 3-повторный нагрев после кристаллизации

Температурные зависимости вязкости расплавов с содержанием никеля менее 2,5 ат.% и от 6 до 9 ат.% (рис.3) хорошо описываются уравнением Аррениуса [10] во всем исследованном интервале температур как в режиме нагрева, так и охлаждения. На политермах в жидких сплавах с содержанием никеля от 2,7 до 5 ат.% отмечено отклонение температурной зависимости вязкости от экспоненциальной. При этом значения вязкости и характер зависимости  $\nu(t)$ , полученные в режимах нагрева и охлаждения, совпадают (гистерезис отсутствует) и хорошо воспроизводятся при повторном нагреве после кристаллизации образца. Стабильные значения вязкости в расплавах этой системы для каждой выбранной температуры устанавливаются достаточно быстро (5-10 минут).

На температурных зависимостях вязкости всех исследованных расплавов системы Al-Y (рис.4) наблюдается гистерезис: значения вязкости, полученные в режиме нагрева, выше значений, полученных при последующем охлаждении. Температура начала гистерезиса повышается с увеличением содержания Y в сплаве. На рис.5. приведены временные зависимости вязкости расплавов с содержанием иттрия 1 и 5 ат.% при различных температурах. Все временные зависимости имеют немонотонный характер. Равновесие в расплавах устанавливается в течение длительного времени, которое уменьшается с увеличением температуры расплава.

На рис.6 на фоне фрагмента равновесной диаграммы состояния приведены концентрационные зависимости вязкости расплавов системы Al-Ni при температуре 800°C (рис.6а) и при температурах перегрева над ликвидусом 100°C и 300°C (рис.6б). Увеличение концентрации никеля до 1,5 ат.% приводит к возрастанию значений вязкости. В области 1,5 - 2,5 ат.% Ni наблюдается ее уменьшение и затем дальнейший рост. Минимум вязкости близок к эвтектической концентрации (2,7 ат.% Ni [5]).

Концентрационные зависимости вязкости расплавов системы Al-Y, построенные по политермам охлаждения, приведены на рис.7. Концентрационные кривые и кривые равного перегрева также имеют немонотонный характер: минимум значений вязкости близок к эвтектическому составу (~3 ат. %Y [5]).

С учетом микронеоднородного строения жидкости можно полагать, что немонотонное изменение вязкости в расплавах бинарной системы Al-Y и тройного сплава Al<sub>87</sub>Ni<sub>8</sub>Y<sub>5</sub> вызвано изменением концентрации оставшихся в расплаве после плавления неравновесных микрогетерогенных атомных группировок на основе тугоплавких химических соединений (в частности, Al<sub>3</sub>Y) которые распадаются под действием температуры и времени выдержки. Это изменение определяется двумя различными процессами: диспергированием (измельчением) крупных кластеров, которое приводит к увеличению концентрации всех кластеров, и растворением (диссоциацией) наиболее мелких, что приводит, соответственно, к уменьшению их концентрации. Конкурирующее влияние двух этих процессов и проявляется в виде максимума на временных зависимостях вязкости.

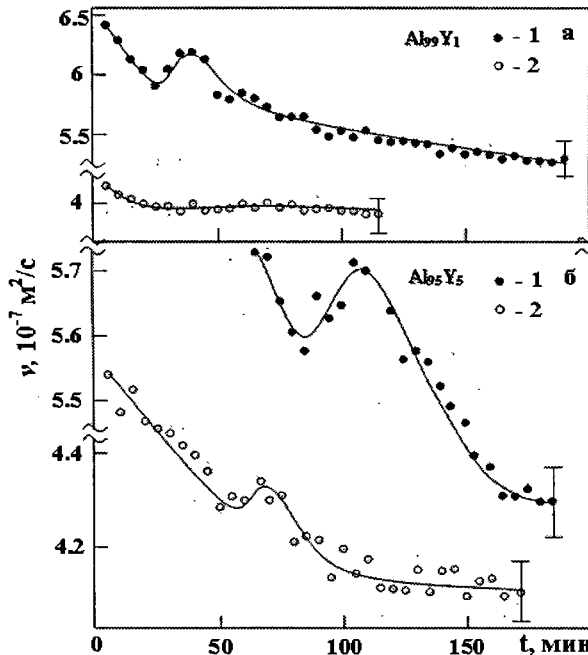


Рис.5. Временные зависимости вязкости расплавов Al<sub>99</sub>Y<sub>1</sub> при 700°C (1а), 900°C (2а) и Al<sub>85</sub>Y<sub>5</sub> при 870°C (1б), 1070°C (2б)

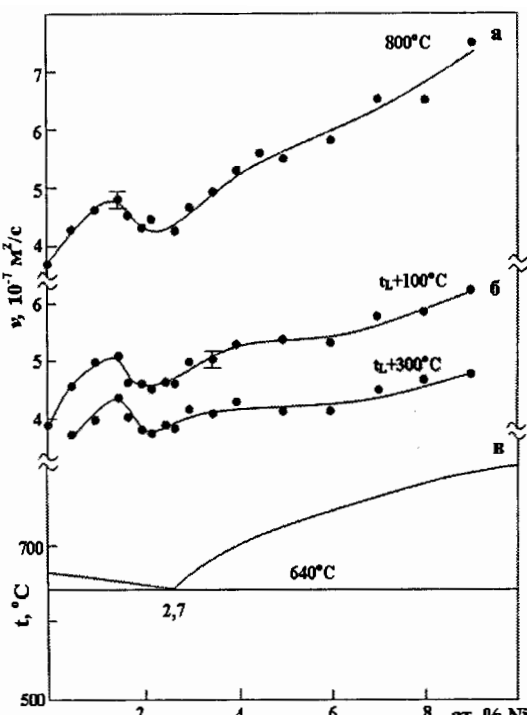


Рис.6. Концентрационная зависимость вязкости жидкых сплавов при температуре 800°C (а), при температурах равного перегрева над ликвидусом (б) и диаграмма фазовых равновесий системы Al-Ni до 10 ат.% Ni (в)

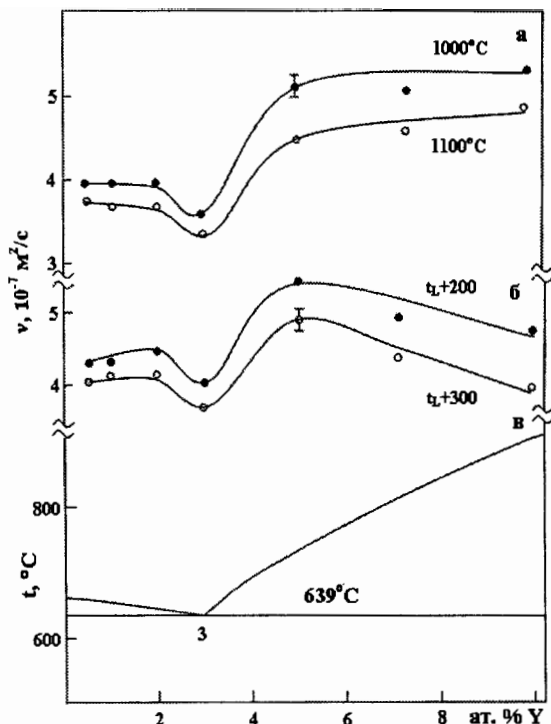


Рис.7. Концентрационная зависимость вязкости жидких сплавов при температурах 1000°C и 1100°C (а), при температурах равного перегрева над ликвидусом (б) и диаграмма фазовых равновесий системы Al-Y до 10 ат.% Y (в)

Немонотонность концентрационных зависимостей вязкости расплавов бинарных систем Al-Ni и Al-Y обусловлена, по-видимому, конкурирующим влиянием различных типов композиционного ближнего упорядочения в них при изменении состава. В области концентраций до 1,5 ат.% Ni и 2 ат.% Y никель и иттрий растворяются в жидком алюминии с образованием микрогруппировок (клластеров) типа твердого раствора на основе Al. При достижении некоторой «критической» концентрации примеси (1,5 ат.% Ni и 2 ат.% Y) в расплаве начинают формироваться микрогруппировки по типу химических соединений (предположительно  $\text{Al}_3\text{Ni}$  и  $\text{Al}_3\text{Y}$ ). Дальнейшее увеличение содержания никеля и иттрия приводит к уменьшению микрогруппировок атомов с упорядочением на основе Al и увеличению доли микрогруппировок с упорядочением по типу интерметаллидов в расплаве.

*Работа выполнена при финансовой поддержке РФФИ (грант № 08-03-90415-Укр\_a).*

1. Higashi K., Mukai T., Tanimura S. et. al. Scr. Metall., 1992, v.26, p.191.
2. Ладьянов В.И., Бельтиков А.Л., Меньшикова С.Г., Волков В.А. МиТОМ, 2007, №5, с.26-29.
3. Lad'yanov V.I., Bel'tyukov A.L., Men'shikova S.G. et. al. Physics and Chemistry of Liquids, 2008, v.46, p.71-77.
4. Бельтиков А.Л., Ладьянов В.И. ПТЭ, 2008, №2, с.155-161.
5. Диаграммы состояния двойных металлических систем: Справочник: В 3 т.: Т.1 / Под общей ред. Н.П. Лякишева.-М.: Машиностроение, 1996.- 992с.